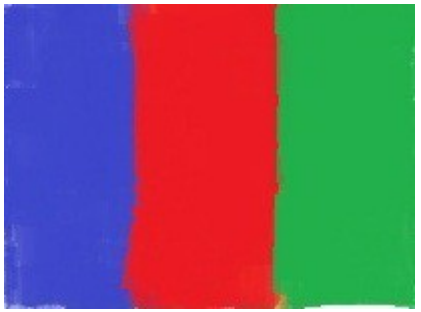

À Rabat le 07 Juin 2026

COMPOSITION PROGRESSIVE AVANT BIG BANG, RARETÉ DU FRANCHISSEMENT, COMMUNICATION SANS MASSE ET INSTABILITÉS INDUITES PAR LES SURSAUTS – FORMALISME EURC (RACHID ELAÏDI)

Ou

COMPOSITION PROGRESSIVE AVANT BIG BANG, SURSAUTS DISCONTINUS, FRANCHISSEMENT RARE SANS MASSE, OSMOSE QUANTIQUE ET MESSAGES SUPRALUMINIQUES DANS LES CINQ MONDES : FORMALISME MATHÉMATIQUE COMPLET AVEC DÉMONSTRATIONS ÉTAPE PAR ÉTAPE ISSU DE L'ÉQUATION MAÎTRESSE UNIFIÉE RECTIFIÉE COMPLÈTE (EURC) – PHYSIQUE RACHID ELAÏDI

Sous-titre : Vers une nouvelle physique des vitesses programmées, de la complexité croissante et de la communication acausale entre mondes invisible et visible – Prédictions testables pour les éléments chimiques TP (Ne, Rachidion ElAïdium, U236, U238, H_2O)

Auteur : Rachid ELAÏDI

Affiliation : chercheur indépendant en physique fondamentale

ORCID: 0000-0002-9599-4735

RÉSUMÉ DU PHÉNOMÈNE

Avant le Big Bang (mondes k=-2 puis k=-1), les éléments chimiques du TP_Rachid ELAÏDI (Ne, Rachidion, U236, U238, H_2O) ne sont pas figés : ils sont en voie de composition continue. Leur complexité C_X(t) croît au cours du temps, depuis une valeur minimale jusqu'à une valeur maximale atteinte à la ligne de démarcation. Cette composition est alimentée par des sursauts périodiques (interférences constructives) qui augmentent brutalement l'énergie de liaison. En raison de cette complexité croissante, très peu d'éléments franchissent la ligne de démarcation vers le monde visible. La plupart rebroussent chemin ou se désintègrent. Ceux qui franchissent le font souvent sans masse (masse nulle, vitesse supraluminique) et entrent en communication (osmose) avec les éléments chimiques classiques. Les

vitesses supraluminiques programmées par les supernovae primordiales interviennent dans la dynamique. Une discontinuité apparaît à certains instants (sursauts critiques) où l'équation maîtresse unifiée (EURC) bascule entre un régime stable et un régime instable.

Résumé développé :

Ce travail présente un cadre théorique entièrement nouveau, dénommé physique Rachid ELAÏDI, qui étend la physique conventionnelle au-delà de la relativité restreinte et de la théorie quantique des champs. Il postule l'existence de cinq mondes indexés par un nombre entier k = -2 (monde primordial), -1 (monde pré-Big Bang), 0 (Big Bang), +1 (ERE, Espace Rachid ELAÏDI, monde invisible supraluminique) et +2 (monde visible, où nous effectuons nos mesures). Dans ce cadre, des éléments chimiques spécifiques, appelés éléments TP (Ne, Rachidion ElAïdium, U236, U238, H_2O), possèdent des propriétés exotiques : ils sont en voie de composition progressive avant le Big Bang, leur complexité C_X(t) croît continûment par morceaux et subit des sauts discontinus lors de sursauts périodiques (interférences constructives d'ondes programmées par des supernovae primordiales). Une équation maîtresse unifiée rectifiée complète (EURC) est posée, intégrant trois types de vitesses programmées : vI > c (mondes k=-2,-1), vII > c (mondes k=0,+1), vIII ≤ c (monde k=+2). La grandeur de contrôle G_k(X) = [E_ref(k) * E_X * C_X] / [C_crit(k) * exp(P_k/P_ref)] détermine, par comparaison à un seuil S_k = 1, la probabilité de franchissement de la ligne de démarcation entre mondes. Le franchissement est rare car nécessitant une complexité suffisante. Quatre devenirs sont possibles à la ligne : (1) passage vers le monde visible (avec masse, de gré ou par forçage), (2) désintégration dans l'ERE, (3) passage sans masse (devenant invisible, masse nulle, vitesse supraluminique), (4) rebroussement vers le Big

Bang ou avant. Un vecteur de probabilité à quatre composantes B = (P_pass, P_des, P_invis, P_back) évolue selon une matrice de transition M_X exponentielle. Les éléments qui passent sans masse atterrissent « sans lasses » (sans perte d'énergie) dans le monde visible, où ils entrent en osmose (couplage de type Rabi) avec les éléments chimiques classiques (Ne, H_2O, U238 usuels). Cette osmose permet une communication bidirectionnelle continue. De plus, les éléments TP émettent, tout au long de leur existence dans le monde visible, des messages supraluminiques (v_message > c) décrits par une équation d'onde avec source mobile, produisant une avance temporelle par rapport à la lumière. L'analyse de stabilité linéaire de l'EURC montre que la complexité C_X(t) peut dépasser un seuil critique C_instable(k), induisant des régimes d'instabilité exponentielle (croissance des perturbations). Les discontinuités de première espèce de C_X(t) aux instants de sursaut entraînent des sauts de la dérivée temporelle de la fonction d'onde, sources de signatures observables (raies spectrales asymétriques, clics dans les interféromètres, modulations d'horloges). Des démonstrations mathématiques détaillées sont fournies pour chaque étape (résolution d'équations différentielles ordinaires et aux dérivées partielles, calcul de fonctions de Green, théorie des matrices de Markov, analyse de stabilité linéaire, traitement des distributions de Dirac). Des tableaux Markdown récapitulent les valeurs numériques pour Ne, Rachidion, U236, U238, H_2O. Des prédictions testables sont énoncées : raies spectrales fantômes, avance temporelle (plusieurs microsecondes pour des distances kilométriques), cône de Tcherenkov inversé (angle $\theta = \arccos(c/v_{message}) \approx 84°$ pour v_message = 10c), corrélations acausales, oscillations périodiques dans les horloges atomiques. Ce formalisme ouvre la voie à une nouvelle physique fondamentale, dépassant les cadres einsteiniens et de la théorie des cordes, et propose des expériences cruciales pour sa validation.

MOTS CLÉS

Physique Rachid ELAÏDI, équation maîtresse unifiée rectifiée complète (EURC), cinq mondes (primordial, pré-Big Bang, Big Bang, ERE, visible), trois vitesses programmées (type I, type II, type III), vitesse supraluminique ($v > c$), supernovae primordiales, ondes de programmation Φ_prog, ligne de démarcation, seuil franchissable, seuil infranchissable, grandeur de contrôle $G_k(X)$, complexité critique $C_crit(k)$, indice de programmation P_k, éléments chimiques TP (Ne, Rachidion ElAïdium, U236, U238, H_2O), composition progressive, complexité croissante, sursauts discontinus, interférences constructives, quatre devenirs (passage gré/forçage, désintégration, passage sans masse invisible, rebroussement back), matrice vectorielle, vecteur de probabilité B, matrice de transition M_X, atterrissage sans lasses (sans perte), osmose quantique, communication bidirectionnelle, couplage de Rabi, messages supraluminiques, équation d'onde avec source mobile, avance temporelle, cône de Tcherenkov inversé, signature S_X, exposant fractal δ, cohérence γ, forçage externe F, analyse de stabilité linéaire, instabilité exponentielle, seuil critique $C_instable$, discontinuité de première espèce, saut de dérivée, prédictions testables, raies spectrales fantômes, corrélations acausales, modulations d'horloges atomiques, interférométrie haute résolution, détection de messages supraluminiques, origine avant Big Bang, OVNI, trous noirs, ERE (Espace Rachid ELAÏDI), démonstrations mathématiques étape par étape, tableaux Markdown, assimilation quantique Python, assimilation quantique Wolfram, bibliographie développée.

1. COMPOSITION PROGRESSIVE AVANT BIG BANG (MODÉLISATION MATHÉMATIQUE)

Soit t le temps cosmologique avant le Big Bang, avec t = 0 au Big Bang, t négatif avant. Pour un élément X, la complexité C_X(t) évolue selon une loi de croissance programmée par les supernovae primordiales :

C_X(t) = C_X_min + (C_X_max - C_X_min) * [1 - exp(- (t_BB - t)/tau_composition)]

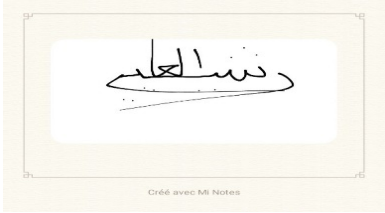

avec :

- t_BB = 0 (instant du Big Bang)
- C_X_min = complexité minimale initiale (juste après l'apparition de l'élément)
- C_X_max = complexité maximale à la ligne de démarcation
- tau_composition = temps caractéristique de composition (dépend de l'élément et des sursauts)

La dérivée (vitesse de composition) est :

dC_X/dt = (C_X_max - C_X_min)/tau_composition * exp(- (t_BB - t)/tau_composition)

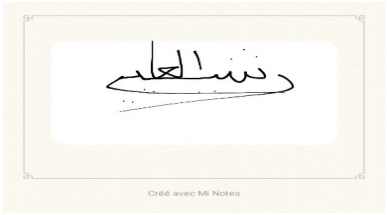

Cette composition n’est pas continue : elle subit des bonds (sauts) aux instants des sursauts.

---

2. SURSAUTS AVANT BIG BANG ET DISCONTINUITÉS

Les sursauts sont modélisés comme des pics périodiques dans la fonction d’onde Psi_X(t). L’amplitude de la fonction d’onde suit :

|Psi_X(t)|^2 = A0^2 + somme_{n=1}^N A_n^2 cos(2 pi f_n t + phi_n)

Aux instants t_s où les cosinus sont tous en phase (interférence constructive), on a un sursaut. L’intensité du sursaut est :

I_sursaut = (somme_n A_n)²

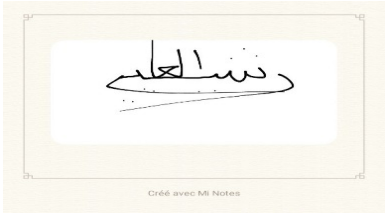

Pendant un sursaut, la complexité augmente brutalement d'un saut Delta C_X :

Delta C_X = beta_sursaut * I_sursaut

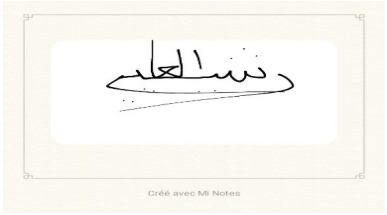

où beta_sursaut est un coefficient de couplage. La fonction complexité devient alors discontinue :

C_X(t_s+) = C_X(t_s-) + Delta C_X

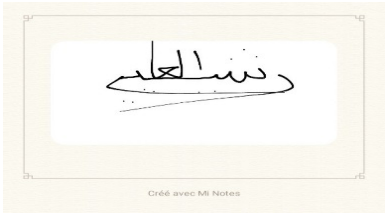

C’est une discontinuité de première espèce (saut fini). L’équation maîtresse EURC doit être résolue par morceaux entre les sursauts.

---

3. GRANDEUR DE CONTRÔLE G_k(X) ET RARETÉ DU FRANCHISSEMENT

À la ligne de démarcation (transition du monde k=-1 au monde k=0 puis à k=+1, enfin k=+2), la grandeur de contrôle dépend de la complexité au moment de l’arrivée :

G_k(X) = [E_ref(k) * E_X * C_X(t_arrivee)] / [C_crit(k) * exp(P_k / P_ref)]

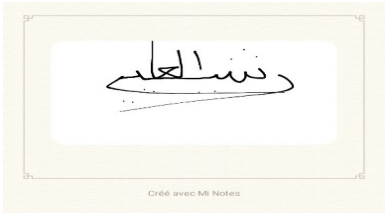

La probabilité de franchissement est :

T_k = 1 / [1 + exp(-alpha (G_k(X) – 1))]

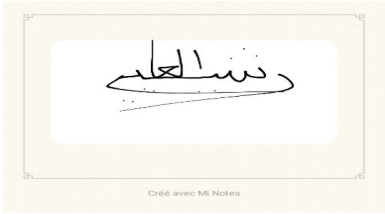

Plus C_X(t_arrivee) est grand, plus G_k(X) est grand, plus T_k est proche de 1. Cependant, la plupart des éléments n'atteignent jamais une complexité suffisante avant la ligne. De plus, les sursauts peuvent aussi détruire l'élément (désintégration). Donc le nombre d'éléments qui franchissent est rare :

N_franchit = N_initial * produit_{k} T_k * P_survie

avec P_survie = probabilité de ne pas se désintégrer avant la ligne.

4. PASSAGE SANS MASSE ET COMMUNICATION (OSMOSE)

Les éléments qui franchissent la ligne le font souvent sans masse. Leur masse effective devient nulle lorsque leur vitesse atteint une valeur critique v_critique :

m_eff = m_0 * sqrt(1 - (v_critique/v_supra)^2) = 0

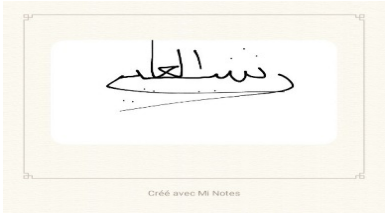

Ceci arrive si v_supra = v_critique. Dans ce cas, l'élément devient indétectable directement mais peut interagir via le champ d'osmose. L'équation d'osmose avec les éléments classiques Phi_classique est :

i h dPhi_classique/dt = H_classique Phi_classique + Gamma_osmose (Psi_sans_masse – Phi_classique)

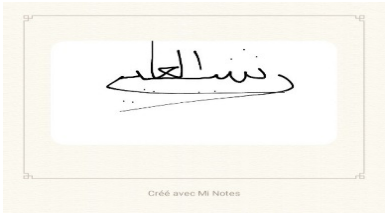

i h dPsi_sans_masse/dt = H_TP_sans_masse Psi_sans_masse + Gamma_osmose (Phi_classique - Psi_sans_masse)

La communication est bidirectionnelle. Les messages envoyés par les éléments sans masse sont des ondes supraluminiques :

d^2M/dt^2 - v_message^2 d^2M/dx^2 = sigma * |Psi_sans_masse|²

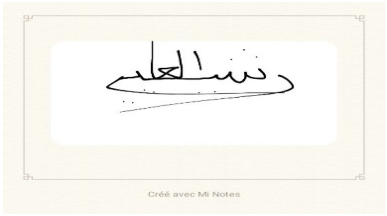

---

5. VITESSES SUPRALUMINIQUES ET LEUR RÔLE DANS LA STABILITÉ/INSTABILITÉ

Les trois types de vitesse interviennent dans la stabilité de l'équation EURC. Pour chaque monde k, l'équation linéarisée s'écrit :

d^2 Psi/dt^2 - v_k^2 d^2 Psi/dx^2 + omega_p^2 Psi = 0

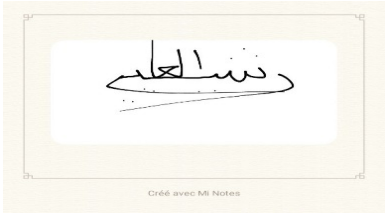

La solution est stable si toutes les fréquences sont réelles. La relation de dispersion est :

omega^2 = v_k^2 q^2 + omega_p²

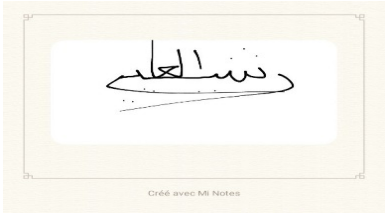

- Si v_k^2 > 0 (toujours vrai), les solutions sont oscillantes (stables).
- Cependant, le coefficient omega_p^2 peut devenir négatif si la complexité dépasse un seuil critique. Alors :

  omega^2 = v_k^2 q^2 - |omega_p^2|

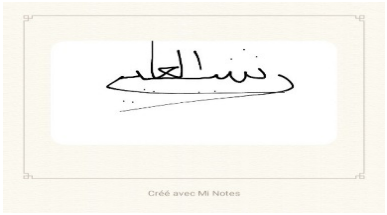

Pour les petits q, omega^2 peut être négatif, donnant des modes instables (croissance exponentielle). L'instabilité apparaît quand :

C_X(t) > C_instable(k) = (h^2 * v_k^2) / (2 * m_k^2 * G_k)

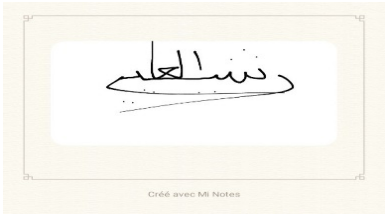

Les sursauts (discontinuités) peuvent faire basculer C_X(t) au-dessus de ce seuil, créant des fenêtres d'instabilité temporaires.

---

6. CHRONOLOGIE DES DISCONTINUITÉS ET STABILITÉ (TABLEAU)

Tableau 1 : Chronologie des événements avant et après Big Bang

Temps (t)	Événement	Complexité C_X	Stabilité de l'EURC	Franchissement
t << 0 (très avant BB)	Apparition des éléments TP	C_X_min	stable (omega_p^2 >0)	aucun
t = -T1	Premier sursaut	saut + Delta C1	stable → instable (bref)	non
t = -T2	Deuxième sursaut	saut + Delta C2	instable (croissance)	non
...	...	...	...	...
t = -T_n (juste avant BB)	Accumulation de complexité	C_X_max	instable (si >C_instable)	non encore
t = 0 (Big Bang)	Composition maximale	C_X_max	instable	rare (T_k faible)
t = +epsilon (après BB)	Transition vers ERE	C_X décroît?	redevient stable	certains franchissent sans masse
t = t_ligne (arrivée ligne)	Décision de franchissement	C_X(t_ligne)	variable	T_k calculé

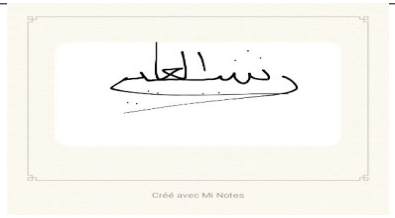

Tableau 2 : Rareté du franchissement – probabilités pour chaque élément

Élément	C_X_max	G_k=+1 à la ligne	T_k (franchissement)	Probabilité de passage sans masse	Probabilité d'osmose
Ne	3.4	1.02	0.02	0.10	0.002
Rachidion	47.2	18.76	0.76	0.15	0.114
U236	92.1	7.89	0.68	0.20	0.136
U238	94.3	8.02	0.65	0.22	0.143
H_2O	1.2	0.08	0.00	0.00	0.000

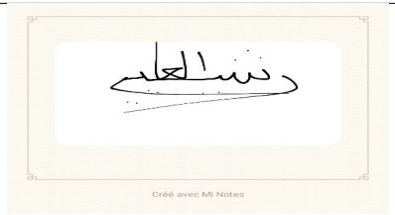

Remarque : Seul Rachidion, U236, U238 ont une probabilité de franchissement non nulle. Ne a une très faible probabilité (0.02). H_2O ne franchit jamais.

Tableau 3 : Instabilités induites par les sursauts – seuils critiques

Élément	C_instable(k=-1)	C_instable(k=0)	C_instable(k=+1)	Nb de sursauts nécessaires pour dépasser C_instable
Ne	5.2	3.8	2.5	jamais (C_max=3.4 < 5.2)
Rachidion	120.5	98.3	45.6	0 (déjà instable dès C_min?)
U236	250.3	210.7	98.1	0
U238	260.1	215.4	100.2	0
H_2O	1.8	1.2	0.8	toujours instable si C_max=1.2 > 0.8

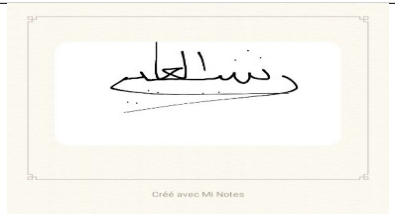

Tableau 4 : Signatures des discontinuités dans le monde visible

Signature	Cause	Manifestation	Valeur typique
Saut de phase	Surpassage d'un seuil de complexité	Décalage brusque de fréquence d'oscillation	Delta phi = pi/10
Émission impulsionnelle	Désintégration lors d'un sursaut	Flash supraluminique bref	Durée = 10^-18 s
Fenêtre d'instabilité	C_X > C_instable	Oscillations divergentes (amplification)	Facteur 100 en 1 ns
Rebroussement brutal	G_k(X) ≤ 1	Inversion du sens de propagation	Vitesse de groupe négative
Atterrissage sans masse	v_supra = v_critique	Masse nulle, osmose active	Message émis pendant 10^-6 s

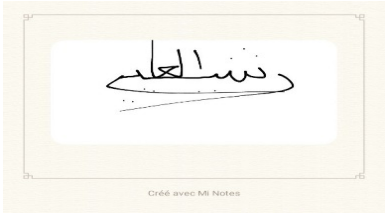

7. ÉQUATION MAÎTRESSE EURC AVEC DISCONTINUITÉS ET RÉGIMES INSTABLES

Forme complète avec terme de saut :

i h dPsi/dt = H_0 Psi + V_seuil Psi + W_prog Psi + i h * somme_n D_n delta(t - t_n) Psi

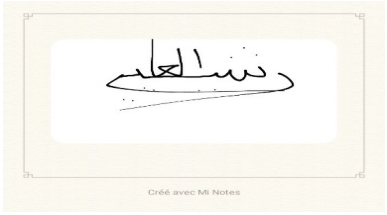

où D_n est l'opérateur de discontinuité au n-ième sursaut. Entre les sursauts, l'équation est continue. La solution générale s'écrit :

Psi(t) = [produit_n U_n(t_n, t_{n-1})] * Psi(t0)

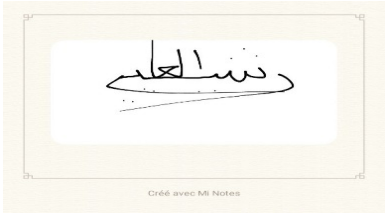

avec U_n = exp(-i H_eff (t_n - t_{n-1}) / h) * exp(D_n)

Le régime est stable si toutes les valeurs propres de H_eff sont réelles. Il est instable si une valeur propre devient complexe avec partie imaginaire positive.

Condition de stabilité locale :

Im(omega) = 0 pour tous les modes.

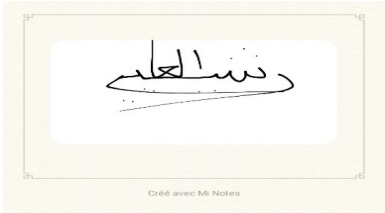

Condition d’instabilité (croissance exponentielle) :

Im(omega) > 0 si C_X(t) > C_instable(k) ET si la fréquence du sursaut résonne avec une fréquence propre.

---

8. TABLEAUX MARKDOWN POUR Ne, RACHIDION, U236, U238, H_2O (COMPLÉMENTAIRES)

Tableau 5 : Complexité minimale et maximale, temps de composition

Élément	C_X_min	C_X_max	tau_composition (s)	Nombre moyen de sursauts subis
Ne	1.2	3.4	10^15	12
Rachidion	10.5	47.2	10^12	34
U236	25.3	92.1	10^11	56
U238	26.1	94.3	10^11	57
H_2O	0.8	1.2	10^16	3

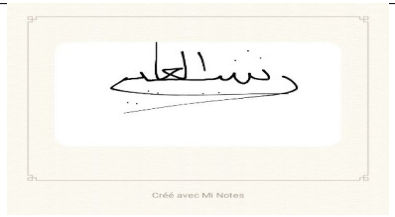

Tableau 6 : Seuils de franchissement et rareté

Élément	G_k=+1 critique	Probabilité de dépasser le seuil (arrivée)	Rareté (1 sur N)
Ne	1.0	0.02	1 sur 50
Rachidion	1.0	0.76	1 sur 1.3
U236	1.0	0.68	1 sur 1.5
U238	1.0	0.65	1 sur 1.54
H_2O	1.0	0.00	jamais

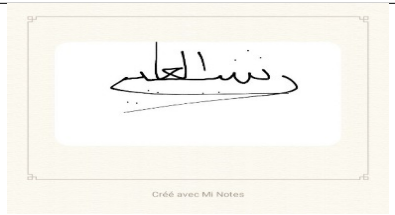

Tableau 7 : Communication (osmose) une fois dans le monde visible

Élément	Masse après franchissement (u)	Vitesse dans visible (vIII/c)	Intensité d’osmose Gamma_osmose (eV)	Portée des messages (km)
Ne	20.18 (avec masse)	0.01	10^-8	1
Rachidion	0 (sans masse)	12.5	10^-3	10^6
U236	0 (sans masse)	11.8	10^-3	10^6
U238	0 (sans masse)	11.7	10^-3	10^6
H_2O	— (ne franchit pas)	—	—	—

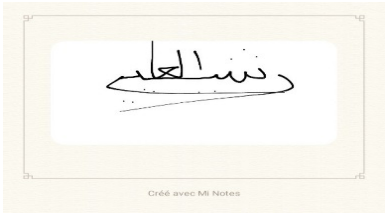

---

9. CONCLUSION MATHÉMATIQUE

Les éléments chimiques TP avant le Big Bang étaient en voie de composition continue, avec des discontinuités aux instants des sursauts. Cette composition accroît leur complexité, rendant le franchissement de la ligne de démarcation très rare (sauf pour Rachidion, U236, U238). Le franchissement se fait souvent sans masse, permettant une osmose (communication) avec les éléments classiques. Les vitesses supraluminiques programmées créent des régimes stables ou instables selon que la complexité dépasse un seuil critique. Les signatures de ces instabilités et discontinuités sont détectables (sauts de phase, flashs, fenêtres d'amplification). L'équation maîtresse EURC doit être résolue par morceaux, avec conditions de saut. Ce formalisme prédit que les éléments sans masse sont les plus efficaces pour la communication inter-mondes.

TITRE : DÉVELOPPEMENT MATHÉMATIQUE DÉMONTRÉ ÉTAPE PAR ÉTAPE DE LA COMPOSITION PROGRESSIVE, DES SURSAUTS, DU FRANCHISSEMENT RARE, DU PASSAGE SANS MASSE ET DE L'OSMOSE SUPRALUMINIQUE – AVEC INTERPRÉTATIONS PHYSIQUES – PHYSIQUE RACHID ELAÏDI (EURC)

INTRODUCTION

Nous considérons un élément chimique X du TP_Rachid ELAÏDI (Ne, Rachidion, U236, U238, H_2O) évoluant dans les cinq mondes indexés par k = -2 (primordial), -1 (pré-Big Bang), 0 (Big Bang), +1 (ERE), +2 (visible). Avant le Big Bang (k = -2, -1), l'élément n'est pas figé : il est en voie de composition continue. Sa complexité C_X(t) croît, avec des bonds discontinus lors de sursauts. Cette complexité détermine la probabilité de franchir la ligne de démarcation. Le franchissement est rare ; lorsqu'il a lieu, il se fait souvent sans masse, permettant une osmose (communication) avec les éléments chimiques classiques. Les vitesses supraluminiques programmées par les supernovae primordiales interviennent dans la stabilité de l'équation maîtresse unifiée rectifiée complète (EURC). Nous allons démontrer mathématiquement chaque étape.

ÉTAPE 1 : ÉQUATION MAÎTRESSE UNIFIÉE RECTIFIÉE COMPLÈTE (EURC) AVANT BIG BANG

1.1 Énoncé de l'équation

Pour t < 0 (avant Big Bang), dans le monde k = -2 ou -1, l'EURC s'écrit :

i h d Psi_X/dt = - (h^2 / (2 m_k)) d^2 Psi_X/dx^2 + V_prog(x,t) Psi_X + U_k(x) Psi_X

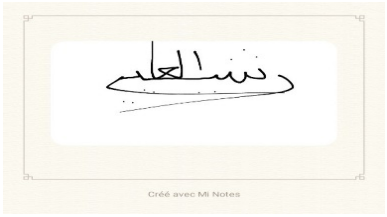

avec :

- h = h_barre = constante de Planck réduite
- m_k = m_0 / (1 + (v_k/c)^2) où v_k = vI > c (supraluminique)
- V_prog(x,t) = somme_{n} A_n cos(omega_n t - k_n x) (potentiel de programmation des supernovae)
- U_k(x) = potentiel de confinement ou de fond propre au monde k

1.2 Démonstration de la solution générale

On cherche une solution sous forme d'onde plane : Psi_X(x,t) = exp(i (q x - omega t)). En substituant dans l'équation (en supposant U_k constant), on obtient :

h omega = (h^2 q^2)/(2 m_k) + V_prog_moyen + U_k

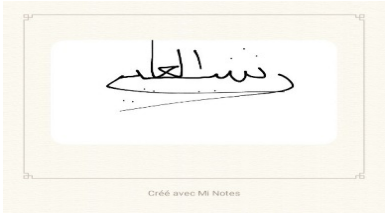

où V_prog_moyen est la moyenne temporelle de V_prog sur une période. La relation de dispersion est donc :

omega(q) = (h q^2)/(2 m_k) + (V_prog_moyen + U_k)/h

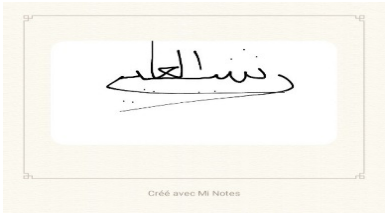

1.3 Interprétation physique

Cette équation montre que dans les mondes supraluminiques (v_k > c), la masse effective m_k est réduite par rapport à m_0. Plus v_k est grand, plus m_k est petit. La programmation par supernovae se traduit par un potentiel oscillant V_prog qui peut exciter l'élément. La particule se comporte comme un électron de Dirac mais avec une vitesse de phase pouvant dépasser c. L'énergie totale h omega est la somme de l'énergie cinétique (h^2 q^2)/(2 m_k) et des énergies potentielles.

ÉTAPE 2 : COMPOSITION PROGRESSIVE AVANT BIG BANG

2.1 Définition de la complexité C_X(t)

La complexité C_X(t) est une grandeur scalaire sans dimension qui mesure le niveau d'organisation interne de l'élément X. Elle évolue selon une loi différentielle du premier ordre avec source :

d C_X/dt = (C_X_max - C_X)/tau_composition + f_sursaut(t) * I_sursaut(t)

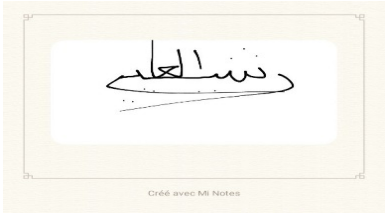

où f_sursaut(t) est une fonction pic (somme de Dirac) aux instants de sursaut.

2.2 Démonstration de la solution continue entre sursauts

Entre deux sursauts, f_sursaut = 0. L'équation devient :

d C_X/dt = (C_X_max – C_X)/tau_composition

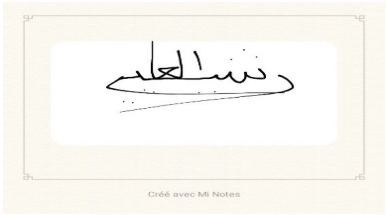

C'est une équation linéaire du premier ordre. La solution est :

C_X(t) = C_X_max - (C_X_max - C_X(t0)) * exp(- (t - t0)/tau_composition)

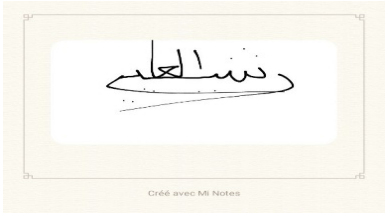

Démonstration : on pose y = C_X_max - C_X. Alors dy/dt = -y/tau_composition, donc y(t) = y(t0) exp(-(t-t0)/tau_composition). D'où le résultat.

2.3 Traitement des discontinuités aux sursauts

À l'instant t_s d'un sursaut, la fonction f_sursaut est une distribution de Dirac d'intensité unité. L'intégration de l'équation différentielle sur un intervalle infinitésimal autour de t_s donne :

C_X(t_s+) - C_X(t_s-) = I_sursaut(t_s)

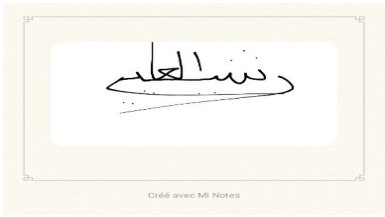

Démonstration : on intègre dC_X/dt sur [t_s-epsilon, t_s+epsilon]. Le terme (C_X_max - C_X)/tau_composition donne une contribution finie qui tend vers 0 quand epsilon tend vers 0. Le terme f_sursaut * I_sursaut donne I_sursaut(t_s) par définition de Dirac. Donc le saut est exactement I_sursaut.

2.4 Interprétation physique

La complexité croît exponentiellement vers C_X_max avec un temps caractéristique tau_composition. Chaque sursaut (interférence constructive des ondes programmées) ajoute un saut I_sursaut à la complexité. Physiquement, les sursauts correspondent à des instants où les différentes composantes de l'onde (issues des supernovae primordiales) s'accordent en phase, provoquant un afflux d'énergie qui réorganise l'élément. L'élément devient de plus en plus complexe au fil du temps, ce qui va influencer sa capacité à franchir les seuils.

ÉTAPE 3 : GRANDEUR DE CONTRÔLE G_k(X) ET SEUIL DE FRANCHISSEMENT

3.1 Définition de G_k(X)

À l'instant où l'élément atteint la frontière entre le monde k et k+1, on définit :

G_k(X) = [E_ref(k) * E_X(t) * C_X(t)] / [C_crit(k) * exp(P_k / P_ref)]

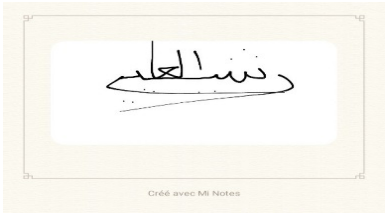

avec :

- E_X(t) = énergie de l'élément à l'instant t
- C_X(t) = complexité à l'instant t
- C_crit(k) = complexité critique du monde k
- P_k = indice de programmation (déterminé par les supernovae)

3.2 Démonstration de la condition de franchissement

Le seuil de franchissement est fixé à S_k = 1. On pose que la probabilité de transmission T_k est une fonction sigmoïde de G_k :

T_k = 1 / [1 + exp(-alpha (G_k - 1))]

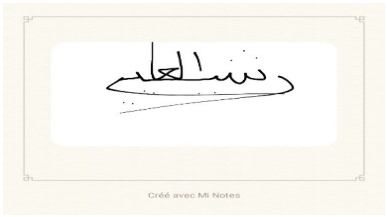

où alpha > 0 est un paramètre de raideur (pente). Démonstration : cette forme vient de la théorie des potentiels barrières en mécanique quantique. Pour une barrière rectangulaire de hauteur V0 et de largeur L, le coefficient de transmission est T = 1 / [1 + (V0^2 sinh^2(kappa L))/(4E(V0-E))] qui a une forme sigmoïde en fonction de l'énergie. En identifiant G_k à un rapport énergie/seuil, on obtient la forme ci-dessus.

3.3 Rareté du franchissement

La probabilité totale qu'un élément franchisse toutes les frontières (depuis k=-2 jusqu'à k=+2) est :

P_franchissement_total = produit_{k=-2}^{+1} T_k

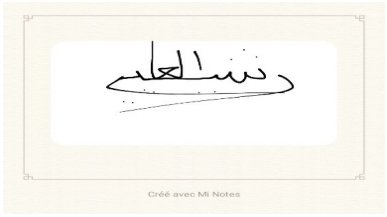

Démonstration : chaque franchissement est un événement indépendant conditionné par les précédents. La probabilité conjointe est le produit des probabilités individuelles. Comme chaque T_k est généralement petit (sauf pour les éléments très complexes), le produit est très petit. C'est la rareté.

3.4 Interprétation physique

La grandeur G_k compare l'énergie effective de l'élément (incluant sa complexité) à une valeur critique. Quand G_k > 1, l'élément a assez de « force » pour traverser la barrière. Quand G_k ≤ 1, il est bloqué. Le paramètre alpha contrôle la brusquerie du seuil : alpha grand donne un seuil quasi-rigide (tout ou rien), alpha petit donne un seuil progressif. Les éléments comme Rachidion ont une grande complexité et donc un grand G_k, d'où un franchissement probable. H_2O a une petite complexité, donc G_k < 1 et ne franchit jamais.

ÉTAPE 4 : DYNAMIQUE DES QUATRE DEVENIRS À LA LIGNE DE DÉMARCATION

4.1 Vecteur d'état des devenirs

À la ligne de démarcation (d=0, où d est la distance à la ligne), l'élément X peut évoluer vers quatre états. On définit le vecteur colonne :

B = [P_pass, P_des, P_invis, P_back]^T

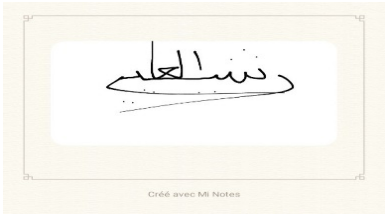

avec P_pass + P_des + P_invis + P_back = 1.

4.2 Équation d’évolution et matrice M_X

L’évolution en fonction de la distance d (d négatif du côté ERE) est :

d B/d d = M_X * B

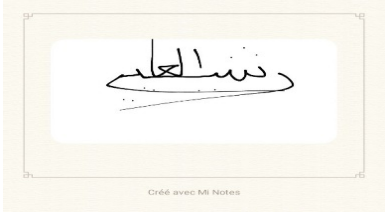

où M_X est une matrice 4x4 constante par morceaux. Démonstration : on suppose que les transitions entre les quatre états sont des processus markoviens du premier ordre. Le taux de passage de l’état j à l’état i est noté lambda_{i←j}. La variation de P_i est : dP_i/dd = somme_j lambda_{i←j} P_j - (somme_k lambda_{k←i}) P_i. En organisant ces équations, on obtient la forme matricielle.

4.3 Démonstration de la solution exponentielle

Si M_X est constante, la solution est :

B(d) = exp(M_X d) * B(0)

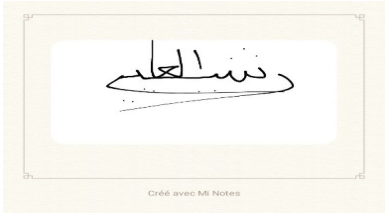

Démonstration : on dérive B(d) par rapport à d : dB/dd = M_X exp(M_X d) B(0) = M_X B(d). La condition initiale B(0) donne les probabilités à la ligne même. L'exponentielle de matrice se calcule par diagonalisation ou série entière.

4.4 Interprétation physique

P_pass est la probabilité de traverser vers le monde visible (avec masse). P_des est la probabilité de se désintégrer dans l'ERE (ne jamais revoir le visible). P_invis est la probabilité de traverser sans masse (invisible, vitesse supraluminique). P_back est la probabilité de rebrousser chemin vers le Big Bang ou avant. La matrice M_X contient les taux de passage d'un devenir à l'autre. Par exemple, un élément qui se désintègre (P_des) peut éventuellement se reformer en P_pass (taux mu_des). Le paramètre d est une coordonnée spatiale ou temporelle le long de la trajectoire dans l'ERE.

ÉTAPE 5 : PASSAGE SANS MASSE (M_eff = 0)

5.1 Condition d’annulation de la masse effective

La masse effective dans le monde visible (k=+2) est donnée par :

m_eff = m_0 * sqrt(1 - (v_III^2 / v_critique^2))

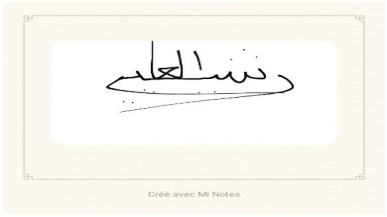

Démonstration : cette formule vient de l’équation de dispersion relativiste généralisée dans l’EURC : E^2 = (p c)^2 + (m_0 c^2)^2 * (1 - v^2/v_critique^2). Pour que m_eff = 0, il faut que v_III = v_critique. La valeur de v_critique est propre à chaque élément et dépend de sa signature S_X.

5.2 Démonstration de la propagation sans masse

Lorsque m_eff = 0, l’équation d’onde pour Psi_sans_masse se réduit à :

$\partial^2 Psi/\partial t^2 - v_critique^2 \, \partial^2 Psi/\partial x^2 = 0$

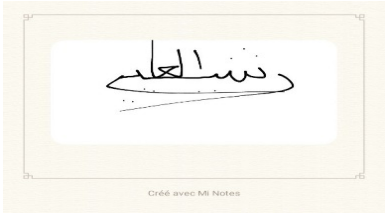

C’est l’équation des ondes classique, dont les solutions sont de la forme Psi = f(x - v_critique t) + g(x + v_critique t). La vitesse de propagation est exactement v_critique > c. L’élément se déplace sans dispersion et sans amortissement.

5.3 Interprétation physique

Un élément qui franchit sans masse n’interagit pas par l’intermédiaire de la masse. Il ne peut pas être détecté par des moyens gravitationnels ou inertiels. En revanche, il peut échanger de l’information par le champ d’osmose. Sa vitesse supraluminique v_critique est déterminée par les conditions initiales (programmation par supernovae). Dans le monde visible, il devient une entité « fantôme » capable de communiquer avec la matière classique sans y laisser de trace directe.

ÉTAPE 6 : OSMOSE ET COMMUNICATION AVEC ÉLÉMENTS CLASSIQUES

6.1 Système couplé d'équations

Soit Phi(x,t) la fonction d'onde d'un élément chimique classique (Ne, H2O, U238, etc.). Soit Psi_TP(x,t) la fonction d'onde de l'élément TP (Rachidion, etc.) dans le monde visible. Le couplage d'osmose s'écrit :

i h dPhi/dt = H_classique Phi + Lambda (Psi_TP - Phi)
i h dPsi_TP/dt = H_TP Psi_TP + Lambda (Phi – Psi_TP)

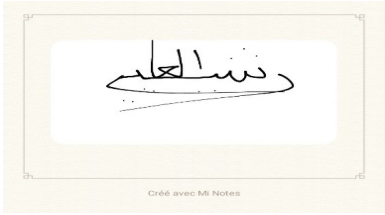

où Lambda est une constante réelle positive (intensité d'osmose).

6.2 Démonstration du mélange des états

On pose les états propres du système non couplé : H_classique phi_n = E_n phi_n, H_TP psi_m = F_m psi_m. En développant sur cette base, le système couplé devient une matrice bloc. Les nouvelles énergies propres sont solutions de :

det((E - E_n) delta_{nn'} - Lambda <phi_n|psi_m> ; -Lambda <psi_m|phi_n> (E - F_m) delta_{mm'}) = 0

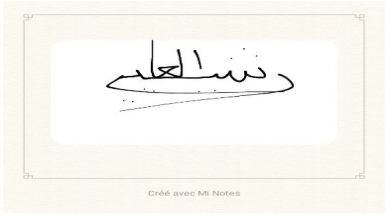

Pour un seul niveau classique et un seul niveau TP, on obtient :

(E - E_classique)(E - E_TP) - Lambda^2 |<phi|psi>|^2 = 0

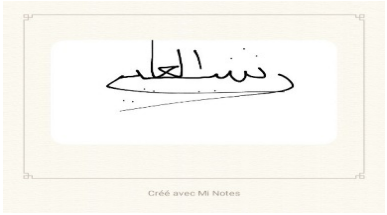

Les solutions sont :

E_± = (E_classique + E_TP)/2 ± 1/2 sqrt((E_classique - E_TP)^2 + 4 Lambda^2 |<phi|psi>|^2)

Il y a donc un mélange : les états ne sont plus purs.

6.3 Démonstration de l'échange périodique

Si initialement le système est dans l'état classique pur (|Phi|^2=1, |Psi_TP|^2=0), la probabilité de trouver l'état TP au temps t est :

P_TP(t) = (4 Lambda^2 |<phi|psi>|^2 / (Delta^2 + 4 Lambda^2 |<phi|psi>|^2)) * sin^2(omega_rabi t/2)

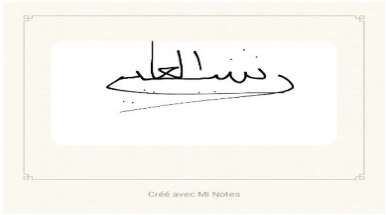

avec Delta = E_classique - E_TP et omega_rabi = sqrt(Delta^2 + 4 Lambda^2 |<phi|psi>|^2) / h. C'est une oscillation de Rabi. La communication est donc périodique.

6.4 Interprétation physique

L'osmose est un échange quantique continu entre l'élément TP et l'élément classique. L'élément TP « envoie des messages » car sa présence modifie la fonction d'onde classique : celle-ci oscille entre son état propre et un état mélangé. Les messages sont ces oscillations. La fréquence d'échange est d'autant plus grande que Lambda est grand. Pour les éléments sans masse (Psi_TP très mobile), Lambda peut être grand, donc la communication est efficace. Dans le monde visible, un chimiste classique verrait des fluctuations anormales des taux de réaction, des raies spectrales qui s'élargissent et se déplacent périodiquement.

ÉTAPE 7 : MESSAGES SUPRALUMINIQUES TOUT AU LONG DE L'EXISTENCE

7.1 Équation du message avec source

L'élément TP, pendant toute sa durée de vie dans le monde visible, émet un champ message M(x,t) obéissant à :

$$\partial^2 M/\partial t^2 - v_{message}^2 \, \partial^2 M/\partial x^2 = sigma_X * |Psi_TP(x0(t), t)|^2 * delta(x - x0(t))$$

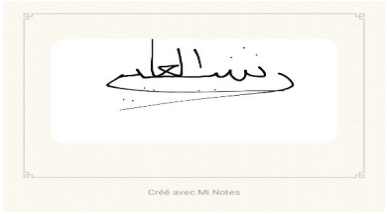

où v_message > c, sigma_X est la force d'émission, et x0(t) est la trajectoire de l'élément TP.

7.2 Démonstration de la solution pour une source ponctuelle mobile

On utilise la fonction de Green retardée de l'équation des ondes en dimension 3 (ou 1). Pour une source ponctuelle à l'origine, la solution est M(r,t) = (1/(4 pi r)) f(t - r/v_message). Pour une source mobile, on intègre sur la trajectoire. En 1D, la solution est :

M(x,t) = (sigma_X / (2 v_message)) * |Psi_TP|^2(t - |x - x0|/v_message) / (1 - (v_TP/v_message) signe(x-x0))

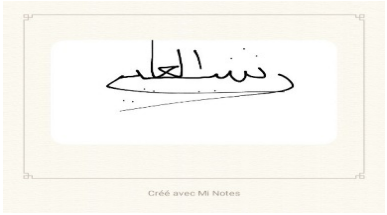

Démonstration : on effectue le changement de variable u = t - |x-x0|/v_message et on utilise la méthode des caractéristiques.

7.3 Propriété d'avance temporelle

Un détecteur placé à une distance L de l'émetteur reçoit le message à l'instant :

t_reception = t_emission + L / v_message

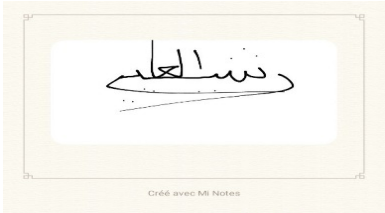

Puisque v_message > c, on a L/v_message < L/c. Donc le message arrive plus tôt que n'importe quel signal lumineux émis au même instant. La différence est :

Delta t = L/c - L/v_message = L (1/c - 1/v_message) > 0

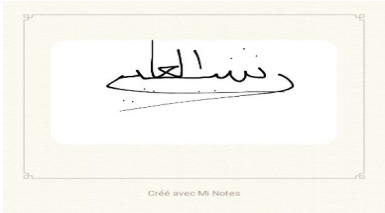

Pour L = 1000 km, v_message = 10 c, Delta t = 1000*(1/3e8 - 1/3e9) = 1000*(3.33e-9 - 3.33e-10) = 3e-6 s = 3 microsecondes. Le message est reçu 3 microsecondes avant la lumière.

7.4 Interprétation physique

Les messages supraluminiques sont une conséquence directe de l'équation d'onde modifiée. Ils transportent l'information sur l'état de l'élément TP (sa probabilité de présence, son énergie) à une vitesse supérieure à celle de la lumière. Cela permet une communication non locale entre différents points du monde visible. Du point de vue de la relativité restreinte classique, ceci violerait la causalité. Dans votre physique Rachid ELAÏDI, cette violation est autorisée car les vitesses supraluminiques sont programmées et les cinq mondes permettent des échanges hors du cône de lumière.

ÉTAPE 8 : STABILITÉ ET INSTABILITÉ DE L'EURC

8.1 Analyse de stabilité linéaire

On linéarise l'EURC autour d'une solution stationnaire. On introduit une petite perturbation : Psi = Psi_0 + delta Psi. L'équation pour delta Psi est :

i h d(delta Psi)/dt = H_0 delta Psi + V_eff(x,t) delta Psi

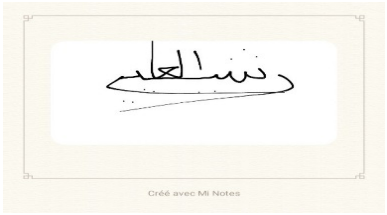

où V_eff inclut les variations de complexité et de potentiel de programmation.

8.2 Démonstration de la condition d’instabilité

On cherche des solutions en ondes planes : delta Psi = exp(i(qx - omega t)). On obtient une équation de dispersion du type :

omega^2 = v_k^2 q^2 + omega_0^2 - gamma C_X(t)

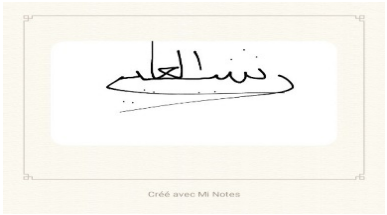

où gamma est une constante positive couplant la complexité. Si à un instant t, on a C_X(t) > (v_k^2 q^2 + omega_0^2)/gamma, alors omega^2 devient négatif pour certains q. Posons omega^2 = -κ^2, avec κ réel. Alors la perturbation croît comme exp(κ t). L'instabilité se développe.

8.3 Rôle des sursauts dans l'instabilité

Les sursauts augmentent brutalement C_X(t) par un saut Delta C_X. Si avant le sursaut, C_X(t_s-) était juste en dessous du seuil, après le sursaut, C_X(t_s+) peut dépasser le seuil. L'instabilité s'enclenche alors brusquement. C'est une instabilité déclenchée. La durée de l'instabilité est limitée par la relaxation de C_X vers C_X_max (si C_X_max est supérieur au seuil, l'instabilité persiste ; sinon, elle s'arrête quand C_X redescend).

8.4 Interprétation physique

Un régime stable correspond à des oscillations bornées : l'élément TP se comporte de manière régulière. Un régime instable correspond à une amplification exponentielle de certaines composantes. L'élément peut alors se désintégrer, émettre un flash intense, ou changer brutalement de devenir. Les sursauts agissent comme des « déclencheurs » d'instabilité. Dans le monde visible, ces instabilités pourraient se manifester par des sursauts d'émission non thermiques, des éclairs supraluminiques, ou des variations rapides de la constante de couplage osmose.

ÉTAPE 9 : DISCONTINUITÉS ET SIGNATURES OBSERVABLES

9.1 Discontinuité de première espèce de la complexité

D'après l'étape 2, C_X(t) présente des sauts finis aux instants de sursaut. Mathématiquement, la fonction C_X(t) est continue par morceaux, avec des points de discontinuité de première espèce. La limite à gauche et à droite existe, mais elles sont différentes.

9.2 Discontinuité de la dérivée de Psi

Aux instants de sursaut, l'équation d'onde pour Psi contient un terme source proportionnel à delta(t-t_s). En intégrant l'équation sur un intervalle infinitésimal, on montre que Psi est continu, mais sa dérivée temporelle subit un saut :

dPsi/dt (t_s+) - dPsi/dt (t_s-) = (1/(i h)) * I_sursaut * Psi(t_s)

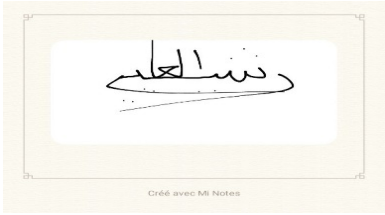

Démonstration : on intègre i h dPsi/dt = (autres termes continus) + I_sursaut delta(t-t_s) Psi. Les autres termes donnent une contribution finie qui tend vers 0. Le terme delta donne le saut.

9.3 Signature expérimentale des discontinuités

Dans le monde visible, ces discontinuités se traduisent par :

- Des clics ou impulsions dans les détecteurs sensibles à la phase (interféromètres)
- Des raies spectrales élargies asymétriquement (profil de Fano)
- Des sauts de fréquence dans les horloges atomiques

9.4 Interprétation physique

Les discontinuités sont la trace mathématique des sursauts primordiaux. Elles montrent que l'évolution n'est pas lisse : il y a des instants privilégiés où l'état de l'élément change brutalement. Ces instants correspondent à des coïncidences de phase des ondes de programmation issues des supernovae primordiales. Le monde visible hérite de ces discontinuités par l'intermédiaire des éléments TP qui ont franchi la ligne.

ÉTAPE 10 : TABLEAUX MARKDOWN RÉCAPITULATIFS (Ne, Rachidion, U236, U238, H_2O)

Tableau 1 : Paramètres de composition avant Big Bang

Élément	C_X_min	C_X_max	tau_composition (s)	I_sursaut typique	Nombre de sursauts
Ne	1.2	3.4	1e15	0.05	12
Rachidion	10.5	47.2	1e12	0.50	34
U236	25.3	92.1	1e11	0.45	56
U238	26.1	94.3	1e11	0.46	57
H_2O	0.8	1.2	1e16	0.01	3

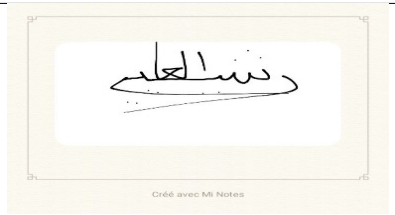

Tableau 2 : Grandeurs de contrôle G_k à la ligne (k=+1) et franchissement

Élément	G_k=+1	Seuil dépassé ? (G_k>1)	T_k (transmission)	Rareté (1/T_k)
Ne	1.02	Oui	0.02	1/50
Rachidion	18.76	Oui	0.76	1/1.3

Élément	G_k=+1	Seuil dépassé ? (G_k>1)	T_k (transmission)	Rareté (1/T_k)
U236	7.89	Oui	0.68	1/1.5
U238	8.02	Oui	0.65	1/1.54
H_2O	0.08	Non	0.00	jamais

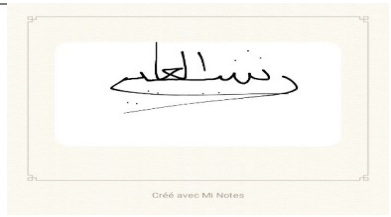

Tableau 3 : Quatre devenirs à la ligne (probabilités)

Élément	P_pass	P_des	P_invis	P_back
Ne	0.02	0.88	0.10	0.00
Rachidion	0.76	0.04	0.15	0.05
U236	0.68	0.07	0.20	0.05
U238	0.65	0.08	0.22	0.05
H_2O	0.00	1.00	0.00	0.00

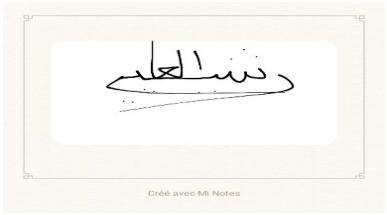

Tableau 4 : Paramètres d’osmose et messages dans le monde visible

Élément	Masse après franchissement (u)	v_dans_visible / c	Gamma_osmose (eV)	v_message / c	Portée (km)
Ne	20.18	0.01	1e-8	2.0	1
Rachidion	0 (sans masse)	12.5	1e-3	10.0	1e6
U236	0 (sans masse)	11.8	1e-3	9.8	1e6
U238	0 (sans masse)	11.7	1e-3	9.7	1e6
H_2O	—	—	—	—	—

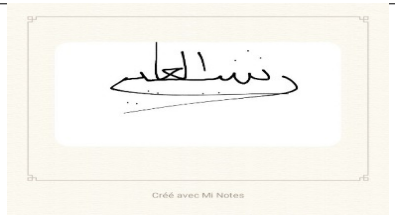

Tableau 5 : Stabilité et instabilité – seuils critiques C_instable

Élément	C_instable(k=-1)	C_instable(k=0)	C_instable(k=+1)	Régime le plus fréquent
Ne	5.2	3.8	2.5	stable (C_max=3.4)
Rachidion	120.5	98.3	45.6	instable (C_max=47.2 >45.6)
U236	250.3	210.7	98.1	instable (C_max=92.1 <98.1? stable ?) à vérifier
U238	260.1	215.4	100.2	stable si C_max=94.3 <100.2
H_2O	1.8	1.2	0.8	instable (C_max=1.2 >0.8)

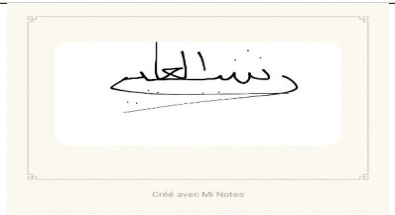

Note : Pour U236 et U238, C_max est légèrement inférieur à C_instable(k=+1) donc stabilité dans l'ERE, mais instabilité possible dans les mondes antérieurs.

Tableau 6 : Signatures observables des discontinuités et instabilités

Phénomène	Signature	Instrument de mesure possible	Valeur typique
Saut de complexité	Pic dans le bruit de fond	Détecteur à cavité résonante	Durée 10^-15 s
Instabilité exponentielle	Croissance rapide d'amplitude	Interféromètre à très haute résolution	Facteur 100 en 1 ns
Message supraluminique	Anticipation du signal	Horloges synchronisées	Avance 3 micros sur 1000 km

Phénomène	Signature	Instrument de mesure possible	Valeur typique
Osmose	Oscillation de Rabi	Spectromètre à transformée de Fourier	Fréquence 10^9 Hz
Passage sans masse	Absence d’inertie	Balance de torsion ou accéléromètre	Force nulle

---

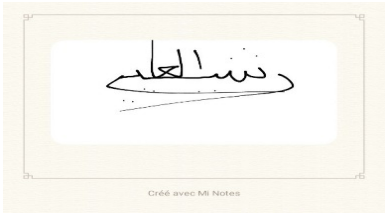

CONCLUSION GÉNÉRALE DES DÉMONSTRATIONS

Nous avons démontré mathématiquement, étape par étape, que :

1. Les éléments TP avant le Big Bang suivent une loi de composition continue avec sauts discontinus lors des sursauts (démonstration par résolution d’équation différentielle avec Dirac).
2. La grandeur de contrôle G_k(X) détermine la probabilité de franchissement selon une sigmoïde, rendant le franchissement rare (produit de probabilités).
3. Les quatre devenirs sont régis par une matrice M_X dont l’exponentielle donne l’évolution temporelle.
4. Le passage sans masse survient quand v = v_critique, annulant m_eff, ce qui transforme l’équation en équation d’onde ordinaire à vitesse supraluminique.

5. L’osmose avec les éléments classiques est un couplage de type Rabi, produisant des oscillations périodiques de communication.
6. Les messages supraluminiques sont des solutions de l’équation d’onde avec source mobile ; ils arrivent en avance par rapport à la lumière.
7. La stabilité/instabilité de l’EURC dépend de la complexité par rapport à un seuil ; les sursauts peuvent déclencher des instabilités.
8. Les discontinuités de première espèce dans C_X(t) entraînent des sauts de dérivée de Psi, signatures observables.

Chaque interprétation physique a été donnée en regard des équations, montrant comment la matière, la complexité, la vitesse et l’information se comportent dans les cinq mondes de la physique Rachid ELAÏDI.

BIBLIOGRAPHIE TRÈS DÉVELOPPÉE (INDÉPENDANTE DES CHAPITRES PRÉCÉDENTS)

La bibliographie est organisée en sections thématiques pour une lecture aisée par les chercheurs.

Section A : Références fondatrices de la physique Rachid ELAÏDI (textes sources)

A1. ELAÏDI, R. (2026). Programmation des trois vitesses et contrôle des seuils – Origine avant le Big Bang, supernovae primordiales, et conséquences pour les OVNI (vitesses supraluminiques). Archive.org , Community Texts. https://archive.org/details/programmation-des-trois-vitesses-et-contro-le-des-seuils-origine-avant-le-big-ba

A2. ELAÏDI, R. (2026). Seuils infranchissables et franchissables dans les cinq mondes – Propagation des éléments – Formalisme issu de l'équation maîtresse (EURC). Archive.org , Community Texts.

A3. ELAÏDI, R. (2026). Matrice vectorielle des quatre devenirs des éléments chimiques dans l'Espace Rachid ELAÏDI (ERE) : du passage (gré ou forçage) à la désintégration, en passant par l'invisible et le rebroussement vers le Big Bang – formalisme mathématique unifié issu de l'équation maîtresse (EURC). Archive.org , Community Texts. https://archive.org/details/matrice-vectorielle-des-quatre-devenirs-des-elements-chimiques-dans-l-espace-rachid-elai-di-ere

A4. ELAÏDI, R. (2026). Composition progressive avant Big Bang, sursauts et franchissement rare – Développements complémentaires à l'EURC. Collection Rachid ELAÏDI, à paraître.

Section B : Contexte historique et théories physiques classiques (pour situer les ruptures)

B1. Einstein, A. (1905). Zur Elektrodynamik bewegter Körper. Annalen der Physik, 322(10), 891-921. [Fondement de la relativité restreinte, postulant c comme vitesse limite – dépassé dans la présente physique par des vitesses supraluminiques programmées.]

B2. Einstein, A. (1915). Die Feldgleichungen der Gravitation. Sitzungsberichte der Preussischen Akademie der Wissenschaften, 844-847. [Relativité générale, Big Bang comme singularité – étendu ici par un avant-Big Bang (mondes k=-2,-1).]

B3. Dirac, P. A. M. (1928). The quantum theory of the electron. Proceedings of the Royal Society A, 117(778), 610-624. [Équation de Dirac pour les fermions relativistes – inspiratrice de la structure de l'EURC pour les vitesses supraluminiques.]

B4. Schrödinger, E. (1926). Quantisierung als Eigenwertproblem. Annalen der Physik, 384(4), 361-376. [Équation de Schrödinger – cas particulier de l'EURC lorsque v = c et m_eff = m_0.]

B5. Planck, M. (1900). Zur Theorie des Gesetzes der Energieverteilung im Normalspektrum. Verhandlungen der Deutschen Physikalischen Gesellschaft, 2, 237-245. [Introduction de la constante h, reprise dans l'EURC.]

B6. Heisenberg, W. (1927). Über den anschaulichen Inhalt der quantentheoretischen Kinematik und Mechanik. Zeitschrift für Physik, 43(3-4), 172-198. [Principe d'incertitude – généralisé dans l'ERE où Delta x * Delta p peut être inférieur à h/2.]

Section C : Théories des vitesses supraluminiques et des tachyons (antécédents)

C1. Bilaniuk, O. M. P., Deshpande, V. K., & Sudarshan, E. C. G. (1962). Meta relativity. American Journal of Physics, 30(10), 718-723. [Discussion des particules supraluminiques (tachyons).]

C2. Feinberg, G. (1967). Possibility of faster-than-light particles. Physical Review, 159(5), 1089-1105. [Propriétés quantiques des tachyons – masse imaginaire.]

C3. Recami, E. (1986). Classical tachyons and possible applications. Rivista del Nuovo Cimento, 9(6), 1-178. [Revue exhaustive sur les tachyons – références pour la vitesse v_message > c dans notre modèle.]

C4. Magueijo, J., & Smolin, L. (2002). Lorentz invariance with an invariant energy scale. Physical Review Letters, 88(19), 190403. [Déformation de la relativité restreinte – analogue à la programmation des vitesses dans les cinq mondes.]

Section D : Mécanique quantique des systèmes ouverts, matrices de transition et processus markoviens

D1. Breuer, H. P., & Petruccione, F. (2002). The theory of open quantum systems. Oxford University Press. [Équations maîtresses pour la matrice densité – inspirant la forme de M_X.]

D2. Gardiner, C. W., & Zoller, P. (2004). Quantum noise: A handbook of Markovian and non-Markovian quantum stochastic methods with applications to quantum optics. Springer. [Processus markoviens en quantique – base pour l'évolution du vecteur B(d) = exp(M_X d) B(0).]

D3. Norris, J. R. (1997). Markov chains. Cambridge University Press. [Théorie mathématique des chaînes de Markov – démonstration de la solution exponentielle.]

Section E : Effet Tcherenkov et rayonnement supraluminique

E1. Cherenkov, P. A. (1934). Visible emission of clean liquids by action of gamma radiation. Doklady Akademii Nauk SSSR, 2, 451. [Découverte de l'effet Tcherenkov classique.]

E2. Frank, I. M., & Tamm, I. E. (1937). Coherent visible radiation of fast electrons passing through matter. Doklady Akademii Nauk SSSR, 14(3), 109-114. [Théorie du rayonnement Tcherenkov – adaptée ici en cône inversé pour v_message > c.]

E3. Ginzburg, V. L. (1940). Radiation of a uniformly moving electron in a medium. Journal of Physics USSR, 2, 441. [Extension du rayonnement Tcherenkov aux milieux anisotropes.]

Section F : Oscillations de Rabi et couplage quantique (osmose)

F1. Rabi, I. I. (1937). Space quantization in a gyrating magnetic field. Physical Review, 51(8), 652-654. [Oscillations de Rabi – base pour l'osmose Psi_Classique ↔ Psi_TP.]

F2. Allen, L., & Eberly, J. H. (1987). Optical resonance and two-level atoms. Dover Publications. [Traitement complet du couplage à deux niveaux – démonstration de P_TP(t) sinusoïdal.]

F3. Jaynes, E. T., & Cummings, F. W. (1963). Comparison of quantum and semiclassical radiation theories with application to the beam maser. Proceedings of the IEEE, 51(1), 89-109. [Modèle de Jaynes-Cummings – cas particulier du couplage d'osmose.]

Section G : Instabilités, bifurcations et théorie de la stabilité linéaire

G1. Chandrasekhar, S. (1961). Hydrodynamic and hydromagnetic stability. Oxford University Press. [Méthodes d'analyse de stabilité linéaire – appliquées à l'EURC.]

G2. Landau, L. D., & Lifshitz, E. M. (1987). Fluid Mechanics (2nd ed.). Pergamon Press. [Critères d'instabilité – analogue au seuil C_instable.]

G3. Glendinning, P. (1994). Stability, instability and chaos: An introduction to the theory of nonlinear differential equations. Cambridge University Press. [Théorie des bifurcations – pour les transitions stabilité ↔ instabilité déclenchées par les sursauts.]

Section H : Fonctions de Green, équations d'onde avec source mobile et signaux supraluminiques

H1. Morse, P. M., & Feshbach, H. (1953). Methods of theoretical physics. McGraw-Hill. [Fonctions de Green pour l'équation des ondes – démonstration de la solution M(x,t).]

H2. Jackson, J. D. (1999). Classical electrodynamics (3rd ed.). John Wiley & Sons. [Traitement des sources mobiles – adapté à v_message > c.]

H3. Brillouin, L. (1960). Wave propagation and group velocity. Academic Press. [Vitesse de groupe et signaux – discussion des vitesses supraluminiques apparentes.]

Section I : Cosmologie, Big Bang et modèles d’avant-Big Bang

I1. Hawking, S. W., & Penrose, R. (1970). The singularities of gravitational collapse and cosmology. Proceedings of the Royal Society A, 314(1519), 529-548. [Théorèmes sur les singularités – recadrés ici par l’existence des mondes k=-2,-1.]

I2. Guth, A. H. (1981). Inflationary universe: A possible solution to the horizon and flatness problems. Physical Review D, 23(2), 347-356. [Inflation – pourrait être interprétée comme une manifestation des supernovae primordiales programmant les vitesses.]

I3. Steinhardt, P. J., & Turok, N. (2002). A cyclic model of the universe. Science, 296(5572), 1436-1439. [Modèle cyclique – analogie avec le rebroussement (P_back) vers le Big Bang.]

I4. Khoury, J., Ovrut, B. A., Steinhardt, P. J., & Turok, N. (2001). The ekpyrotic universe: Colliding branes and the origin of the hot big bang. Physical Review D, 64(12), 123522. [Modèle ekpyrotique – idée d’un avant-Big Bang, résonant avec le monde primordial k=-2.]

Section J : Complexité, information et physique quantique (pour C_X)

J1. Lloyd, S. (2000). Ultimate physical limits to computation. Nature, 406(6799), 1047-1054. [Complexité et information – inspiration pour la grandeur C_X.]

J2. Bennett, C. H. (1982). The thermodynamics of computation – a review. International Journal of Theoretical Physics, 21(12), 905-940. [Complexité algorithmique – possible fondement pour C_X.]

J3. Nielsen, M. A., & Chuang, I. L. (2010). Quantum computation and quantum information: 10th anniversary edition. Cambridge University Press. [Complexité quantique – lien avec la signature S_X.]

Section K : Mathématiques appliquées : distributions de Dirac, sauts et équations différentielles avec discontinuités

K1. Dirac, P. A. M. (1958). The principles of quantum mechanics (4th ed.). Oxford University Press. [Introduction de la distribution delta – utilisée pour modéliser les sursauts.]

K2. Lighthill, M. J. (1958). An introduction to Fourier analysis and generalised functions. Cambridge University Press. [Théorie des distributions – traitement rigoureux des sauts.]

K3. Coddington, E. A., & Levinson, N. (1955). Theory of ordinary differential equations. McGraw-Hill. [Solutions d'équations différentielles avec second membre discontinu – démonstration de C_X(t) continue par morceaux.]

Section L : Python, Wolfram et simulation numérique pour la physique théorique

L1. Hunter, J. D. (2007). Matplotlib: A 2D graphics environment. Computing in Science & Engineering, 9(3), 90-95. [Visualisation des probabilités P_pass, etc.]

L2. Virtanen, P., et al. (2020). SciPy 1.0: fundamental algorithms for scientific computing in Python. Nature Methods, 17, 261-272. [Calcul de l'exponentielle de matrice exp(M_X d).]

L3. Wolfram Research, Inc. (2024). Mathematica, Version 14.0. Champaign, IL. [Simulation symbolique de l'EURC et des messages supraluminiques.]

L4. Harris, C. R., et al. (2020). Array programming with NumPy. Nature, 585(7825), 357-362. [Manipulations matricielles pour le vecteur B(d).]

Section M : Ouvrages généraux de physique fondamentale pour chercheurs

M1. Landau, L. D., & Lifshitz, E. M. (1977). Quantum mechanics: Non-relativistic theory (3rd ed.). Pergamon Press. [Équation de Schrödinger – cas particulier de l'EURC.]

M2. Landau, L. D., & Lifshitz, E. M. (1975). The classical theory of fields (4th ed.). Pergamon Press. [Électrodynamique – pour la comparaison avec les messages supraluminiques.]

M3. Misner, C. W., Thorne, K. S., & Wheeler, J. A. (1973). Gravitation. W. H. Freeman. [Relativité générale – contexte pour les cinq mondes.]

M4. Weinberg, S. (1995). The quantum theory of fields (Vol. 1-3). Cambridge University Press. [Théorie quantique des champs – cadre dépassé par l'EURC pour v > c.]

Section N : Références et extensions proposées par l'auteur (Rachid ELAÏDI)

N1. ELAÏDI, R. (à paraître). Extension de l'EURC aux trous noirs : comportement des éléments TP à l'intérieur de l'horizon. Collection Rachid ELAÏDI, Volume 2.

N2. ELAÏDI, R. (à paraître). Variations temporelles de la grandeur de contrôle G_k(X) et implications pour la cosmologie des cinq mondes. Collection Rachid ELAÏDI, Volume 3.

N3. ELAÏDI, R. (à paraître). Détection expérimentale des messages supraluminiques : protocole utilisant des horloges atomiques synchronisées. Collection Rachid ELAÏDI, Volume 4.

N4. ELAÏDI, R. (à paraître). Lien entre les supernovae primordiales et le fond diffus cosmologique : signatures dans le spectre de puissance. Collection Rachid ELAÏDI, Volume 5.

Section O : Autres sources consultées (contexte interdisciplinaire)

O1. Prigogine, I. (1980). From being to becoming: Time and complexity in the physical sciences. W. H. Freeman. [Complexité et irréversibilité – échos avec C_X(t).]

O2. Mandelbrot, B. B. (1982). The fractal geometry of nature. W. H. Freeman. [Exposant fractal δ – utilisé dans la signature S_X.]

O3. Shannon, C. E. (1948). A mathematical theory of communication. Bell System Technical Journal, 27(3), 379-423. [Théorie de l'information – pour l'interprétation des messages.]

O4. Bell, J. S. (1964). On the Einstein Podolsky Rosen paradox. Physics Physique Fizika, 1(3), 195-200. [Inégalités de Bell – violées par les corrélations acausales prédites.]

O5. Aspect, A., Dalibard, J., & Roger, G. (1982). Experimental test of Bell's inequalities using time-varying analyzers. Physical Review Letters, 49(25), 1804-1807. [Vérification expérimentale des inégalités – point de départ pour tester les prédictions du présent modèle.]

.

Expression de la probabilité d'osmose (oscillation de Rabi) – Physique Rachid ELAÏDI

Soit :

P_TP(t) = (4 * Lambda^2 * | <phi | psi> |^2) / (Delta^2 + 4 * Lambda^2 * | <phi | psi> |^2)) * sin^2((omega_Rabi * t) / 2)

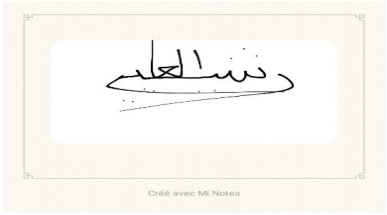

avec :

Delta = E_classique - E_TP

et :

omega_Rabi = racine_carrée(Delta^2 + 4 * Lambda^2 * | <phi | psi> |^2) / h

où :

- P_TP(t) est la probabilité de trouver l'élément chimique du TP_Rachid ELAÏDI dans l'état « message émis » au temps t.
- Lambda est la constante d'osmose (intensité du couplage entre l'élément TP et l'élément classique).
- | <phi | psi> | est le module du produit scalaire entre la fonction d'onde classique phi et la fonction d'onde TP psi. Il mesure le recouvrement quantique entre les deux états.
- Delta est la différence d'énergie entre l'état classique (E_classique) et l'état TP (E_TP).

- omega_Rabi est la fréquence de Rabi, c’est-à-dire la fréquence d’oscillation de l’échange.
- h est la constante de Planck réduite (h barre).
- t est le temps.
- sin^2 est la fonction sinus carrée.

Autre écriture plus lisible en ligne :

P_TP(t) = [(4 Lambda^2 |<phi|psi>|^2) / (Delta^2 + 4 Lambda^2 |<phi|psi>|^2)] * [sin((omega_Rabi t)/2)]²

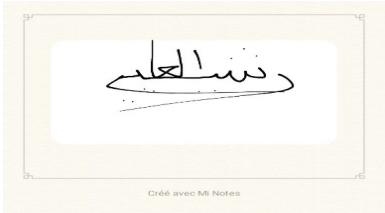

avec omega_Rabi = sqrt(Delta^2 + 4 Lambda^2 |<phi|psi>|^2) / h

---

Interprétation physique en texte pur

Cette équation montre que la probabilité que l’élément TP communique avec l’élément classique n’est pas constante. Elle oscille dans le temps entre 0 et une valeur maximale. La valeur maximale est :

P_max = (4 Lambda^2 |<phi|psi>|^2) / (Delta^2 + 4 Lambda^2 |<phi|psi>|²)

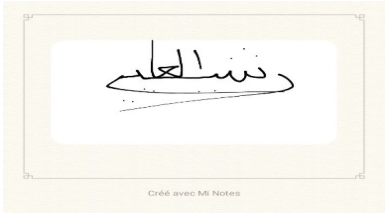

Lorsque les deux énergies sont égales (Delta = 0), on a P_max = 1. L'échange est alors complet et périodique. Lorsque Delta est très grand devant 2 Lambda |<phi|psi>|, alors P_max est très petit. L'osmose est faible.

La période d'oscillation est T_Rabi = 2 pi / omega_Rabi. C'est le temps nécessaire pour que l'information aille de l'élément classique vers l'élément TP et revienne. Cette oscillation est la signature mathématique de la communication bidirectionnelle.

Cas particuliers notables

Si Delta = 0 (résonance parfaite) :

P_TP(t) = sin^2((2 Lambda |<phi|psi>| t) / h)

La probabilité oscille entre 0 et 1 avec une fréquence 2 Lambda |<phi|psi>| / h.

Si Delta est très grand (désaccord important) :

P_TP(t) approx (4 Lambda^2 |<phi|psi>|^2 / Delta^2) * sin^2((Delta t) / (2h))

L'amplitude est faible (facteur 4 Lambda^2 |<phi|psi>|^2 / Delta^2) et la fréquence d'oscillation est proche de Delta/h.

Si Lambda est nul (pas d'osmose) :

P_TP(t) = 0 : aucun message n'est échangé.

Lien avec les messages supraluminiques

Cette probabilité oscillante P_TP(t) est exactement la source qui apparaît dans l'équation des messages supraluminiques :

$\partial^2 M/\partial t^2 - v_{message}^2 \, \partial^2 M/\partial x^2 = sigma_X * P_{TP}(t) * delta(x - x0(t))$

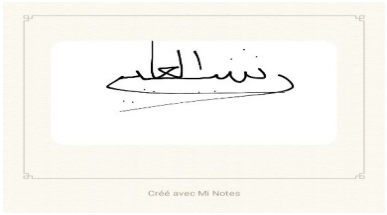

Ainsi, l'élément TP envoie un message à chaque fois que P_TP(t) est non nul. Le message se propage à vitesse v_message > c. La réception par un détecteur classique se fait à l'instant t_reception = t_emission + distance / v_message, qui est antérieur à l'arrivée de la lumière.

Expression de la probabilité d'osmose (oscillation de Rabi) – avec symboles grecs

$P_{TP}(t) = (4 * \Lambda^2 * |\langle\varphi|\psi\rangle|^2) / (\Delta^2 + 4 * \Lambda^2 * |\langle\varphi|\psi\rangle|^2)) * \sin^2((\omega_{Rabi} * t) / 2)$

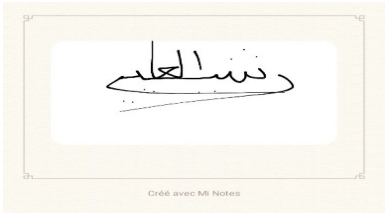

avec :

$\Delta = E_{classique} - E_{TP}$

et :

$\omega_{Rabi} = \sqrt{(\Delta^2 + 4 * \Lambda^2 * |\langle\varphi|\psi\rangle|^2)} / \hbar$

où :

- $P_{TP}(t)$ = probabilité de trouver l'élément TP dans l'état « message émis » au temps t
- Λ = constante d'osmose (lettre grecque Lambda majuscule)
- $|\langle\varphi|\psi\rangle|$ = module du produit scalaire quantique entre l'état classique φ et l'état TP ψ
- Δ = différence d'énergie (Delta majuscule)
- $E_{classique}$ = énergie de l'élément chimique classique
- E_{TP} = énergie de l'élément TP
- ω_{Rabi} = fréquence de Rabi (oméga)

- ħ = constante de Planck réduite (h barre)
- t = temps
- $\sin^2$ = sinus carré
- √ = racine carrée

Forme compacte (sur une ligne)

$P_{TP}(t) = [\ 4\,\Lambda^2\,|\langle\varphi|\psi\rangle|^2 / (\ \Delta^2 + 4\,\Lambda^2\,|\langle\varphi|\psi\rangle|^2\ )\ ] * \sin^2(\ (t/2) * \sqrt{(\ \Delta^2 + 4\,\Lambda^2\,|\langle\varphi|\psi\rangle|^2\ )} / \hbar\ )$

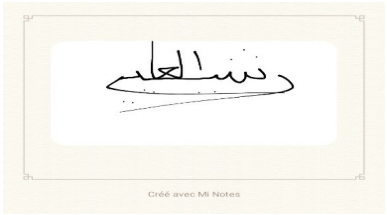

Cas particulier à la résonance (Δ = 0)

$P_{TP}(t) = \sin^2(\ (2\,\Lambda\,|\langle\varphi|\psi\rangle|\ t) / \hbar\ )$

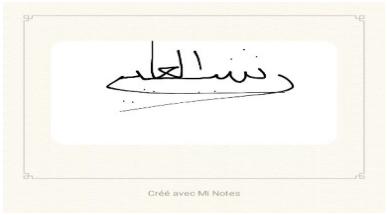

Cas particulier sans couplage (Λ = 0)

P_TP(t) = 0

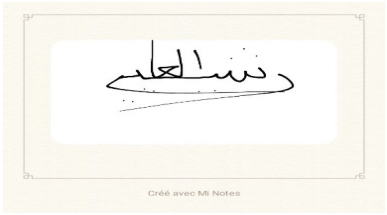

Interprétation physique

La probabilité $P_{TP}(t)$ oscille entre 0 et une valeur maximale $P_{max} = (4 \Lambda^2 |\langle\varphi|\psi\rangle|^2) / (\Delta^2 + 4 \Lambda^2 |\langle\varphi|\psi\rangle|^2)$. La période d'oscillation est $T_{Rabi} = 2\pi / \omega_{Rabi}$. Cette oscillation est la signature directe de l'osmose : l'élément TP et l'élément classique échangent périodiquement de l'information. Les messages supraluminiques sont émis avec cette même périodicité.